## 一軸および三軸持続圧縮応力下において ASR 膨張するコンクリートのクリープ挙動

九州大学 学生会員 〇泉 心太 九州大学大学院 正会員 山本 大介 九州大学大学院 フェロー会員 濱田 秀則 九州大学大学院 正会員 佐川 康貴 港湾空港技術研究所 正会員 川端 雄一郎

### 1. はじめに

本研究では、アルカリシリカ反応(ASR)が生じるコンクリートのクリープ挙動について明らかにすること目的とし、PC 鋼棒とステンレス製の円筒鋼管を用いて、ASR 膨張と三軸圧縮応力下におけるクリープが同時に生じる場合のコンクリートの変形について考察した。なお、ASR 膨張と三軸圧縮応力におけるクリープが同時に生じる場合としては、RC 柱のような自重が継続的に作用する部材や PC などが想定される。

# 2. 実験概要

# 2.1 使用材料および供試体

水セメント比は 60% とした。セメントは普通ポルトランドセメント(密度  $3.16g/cm^3$ , $Na_2O_{eq}0.51$  %),細骨材は石灰石砕砂(表乾密度  $2.65g/cm^3$ ,吸水率 1.50%)を用いた。粗骨材は反応性骨材(表乾密度  $2.54g/cm^3$ ,吸水率 1.50%)と非反応性骨材である石灰石砕石(表乾密度  $2.70g/cm^3$ ,吸水率 1.43%)を質量比 3:7 のペシマム配合で用いた。供試体は $\phi150\times300$ mm の円柱形状とし,打設時に鋼管内にコンクリートを直接打ち込んだ。その際に,鋼管とコンクリートの付着を防ぐために,鋼管内側にはテフロンシートを敷いた。鋼管の肉厚は,拘束力を変化させるために肉厚 3mm と 5mm のものを用意した。また,鋼管無し(一軸持続荷重載荷試験用)のものと ASR 自由膨張用のものも同時に作製した。アルカリ総量を高めるため  $Na_2O_{eq}$ 量が  $4.0kg/m^3$ (供試体名:R4.0), $5.5kg/m^3$ (R5.5)となるよう,練混ぜ水に NaC1試薬を添加した。供試体は比較用にNaC1試薬を添加していない  $Na_2O_{eq}$ 量が  $1.5kg/m^3$ 

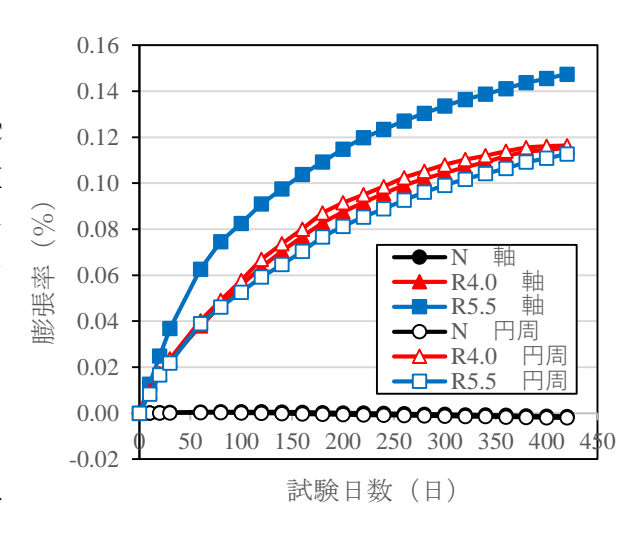


図-1 自由膨張率の経時変化

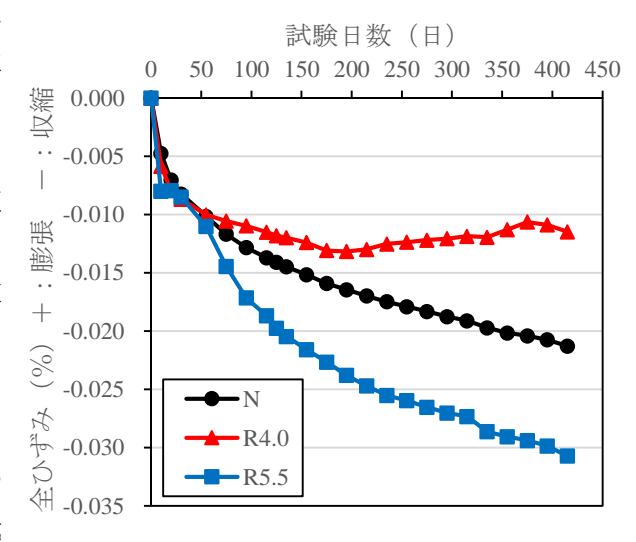


図-2 一軸 軸方向全ひずみの経時変化

#### 2.2 持続荷重載荷試験

(N) であるものも作製した。

材齢7日までアルミテープで封緘養生した後,真空ポンプを用いて4時間真空吸水を行い,再度封緘養生した。また,供試体を十分に飽水させるために,材齢50日でもう一度,真空吸水を行い封緘養生した。その後,鋼管表面に,載荷軸方向および円周方向にひずみゲージ(検長5mm)をそれぞれ6箇所ずつ貼付した。鋼管無し,および,自由膨張用の円柱供試体のコンクリート表面には載荷軸方向,円周方向にひずみゲージ(検長60mm)をそれぞれ2箇所ずつ添付した。その後,ひずみゲージをデータロガーに接続し,材齢87日で持続荷重載荷試験を開始した。PC鋼棒および油圧ジャッキを用いて10N/mm²の圧縮応力を導入した。載荷期間中はロードセルにて計測している荷重が目標荷重の±2%以内になるよう調整した。また,ひずみゲージより計測されるひずみ値から弾性ひずみを差し引き,持続荷重による変形およびASR膨張による変形の影響を受ける全ひずみの算出を行った。

#### 3. 結果および考察

図-1 に自由膨張用の円柱供試体の膨張率の経時変化を示す。図-1 より、R5.5 の軸方向は大きく膨張した。R4.0 は軸方向と円周方向でほぼ同様の膨張傾向を示した。Nは膨張挙動を示さなかった。

図-2, 図-3 にそれぞれ一軸クリープ試験体の軸方向, 円周方向の全ひずみの経時変化を示す。図-2 より, R5.5 は ASR 劣化の進行により大きく変形した。また, 軸方向 の ASR 膨張は概ね抑制される結果となった。図-3 より, 円周方向は R4.0, R5.5 が軸方向に比べて非常に大きく変 形し, N はほとんど変形しなかった。また, R4.0 の円周 方向の全ひずみは同方向の自由膨張率と同程度となっ た。これらより, ASR を生じるコンクリートに一軸クリ ープが作用する場合のコンクリート全体の変形は, 円周方 向に大きく現れることが分かった。

図-4, 図-5 にそれぞれ三軸クリープ試験体の軸方向,円周方向の全ひずみの経時変化を示す。図-4 より,軸方向はR4.0 と R5.5 の 3 mm が同様の収縮挙動を示した。また,N,R4.0,R5.5 のいずれも,管厚が大きい程変形が小さくなり,鋼管の厚みによる拘束効果が現れた。また,軸方向のASR 膨張は抑制される結果となった。図-5 より,R4.0 および R5.5 の円周方向の変形は軸方向に比べて非常に大きくなった。また,側面拘束圧は 10N/mm² の軸応力よりも小さかったことから,三軸持続応力状態においても,ASR膨張による変形の影響は円周方向に大きく現れることが分かった。

#### 4. まとめ

- (1) 一軸, 三軸共に, ASR が生じない健全な供試体について, 円周方向よりも軸方向の方がクリープひずみは大きくなった。
- (2) 持続応力 10N/mm² の場合では一軸, 三軸共に, 軸方向 の ASR 膨張が抑制される傾向があることが分かった。
- (3) 一軸, 三軸共に, ASR を生じる供試体の円周方向の全 ひずみは軸方向と比べて非常に大きい値を示した。ま た, 側面拘束圧は軸応力よりも小さかったことから, 拘束力のより小さい円周方向に沿って変形が生じや すいということが推察される。
- (4) Nの円周方向を除き、鋼管の厚みが大きい方がコンク リート全体の変形は小さくなった。これにより、鋼管 による拘束効果は円周方向の変形だけでなく軸方向 の変形にも影響を与えることが確認された。

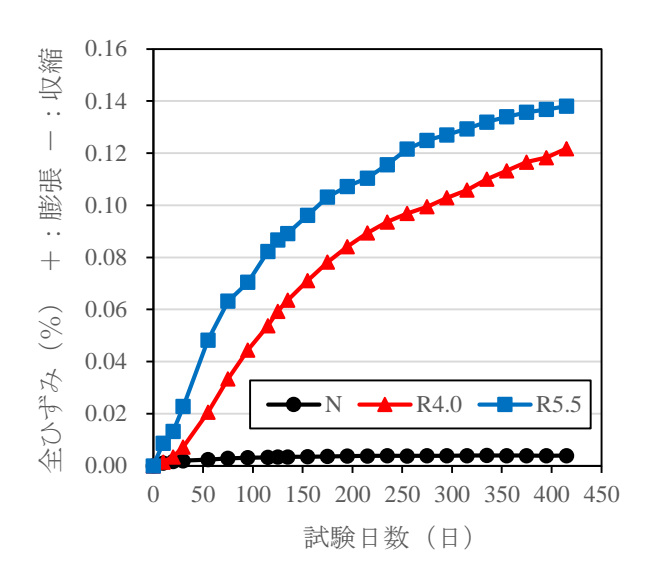


図-3 一軸 円周方向全ひずみの経時変化

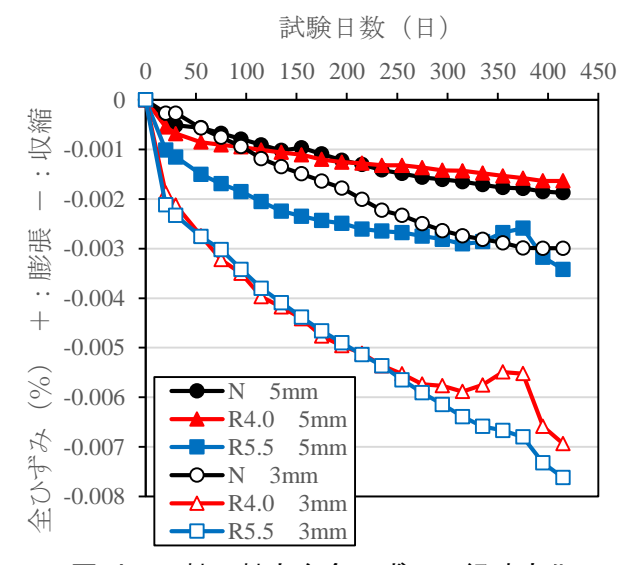


図-4 三軸 軸方向全ひずみの経時変化

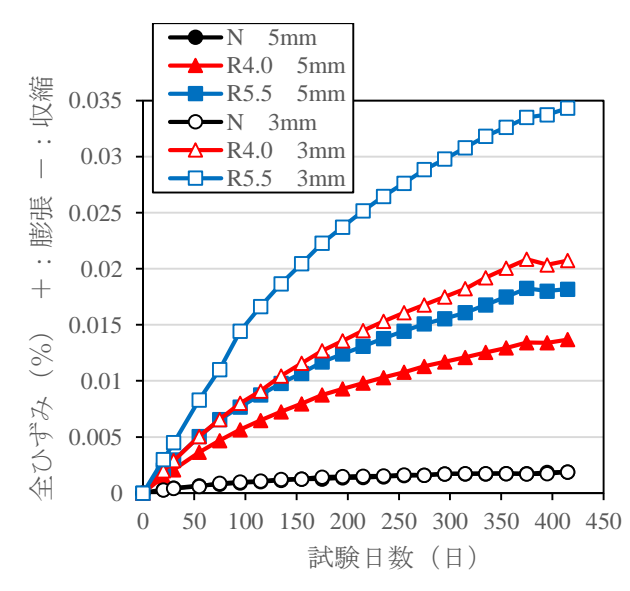


図-5 三軸 円周方向全ひずみの経時変化